

УДК 535.317.1

РАСЧЕТНЫЕ КРИТЕРИИ ОЦЕНКИ КАЧЕСТВА ГОЛОГРАФИЧЕСКИХ ОПТИЧЕСКИХ ЭЛЕМЕНТОВ

Г. И. Грейсух, М. А. Прохоров и Ю. Г. Туркевич

Приведены результаты расчета на ЭВМ распределения качества по полю действительного изображения осевых голограммических линз. Оценка качества производилась по семи основным критериям: Рэлея, Марешала, Штреля и критериям, оценивающим качество по параметрам фигуры рассеяния, получаемой при расчете хода лучей через оптическую систему. Сделаны выводы о сопоставимости оценок качества оптического изображения по различным критериям.

Использование голограмм в качестве оптических элементов — линз, мультиплексоров, фурье-преобразователей — требует достоверного прогнозирования качества создаваемого ими изображения на этапе конструирования.

Известен ряд расчетных критериев оценки качества оптических систем. Прежде всего это критерии, оценивающие качество по волновой аберрации системы. Так, условие Рэлея [1] оценивает качество по максимальной величине волновой аберрации на краю апертуры, критерий Марешала [2] — по величине среднеквадратичного отклонения волнового фронта от опорной сферы, интенсивность Штреля [3], оценивающая качество по величине нормированной интенсивности света в максимуме дифракционного пятна, также вычисляется по известной функции волновой аберрации. Другая группа критериев оценивает качество изображения по параметрам фигуры рассеяния, получаемой при расчете хода лучей через оптическую систему [4]. Эти критерии в настоящей работе использовались в виде

$$Q_1 = \frac{1}{N\delta} \sum_{i=1}^N |r_i|, \quad Q_2 = \frac{1}{\delta} \sqrt{\frac{1}{N} \sum_{i=1}^N r_i^2},$$

$$Q_3 = \frac{1}{N} \sum_{i=1}^N \frac{1}{|r_i| + \delta}, \quad Q_4 = \delta \sqrt{\frac{1}{N} \sum_{i=1}^N \frac{1}{(|r_i| + \delta)^2}},$$

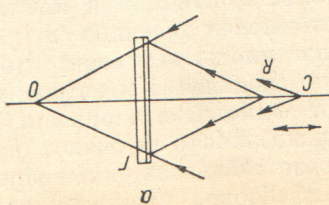
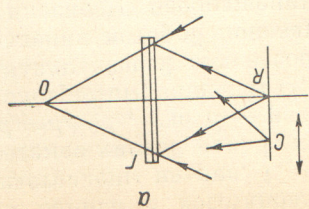
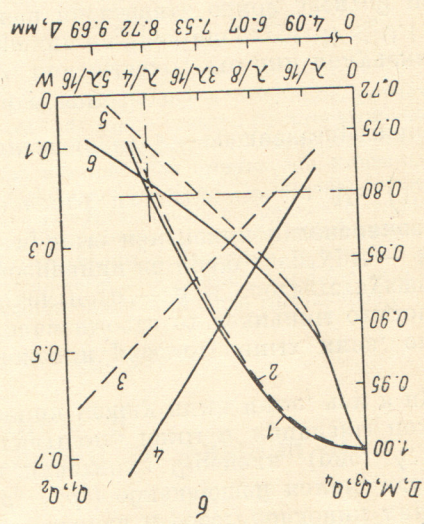
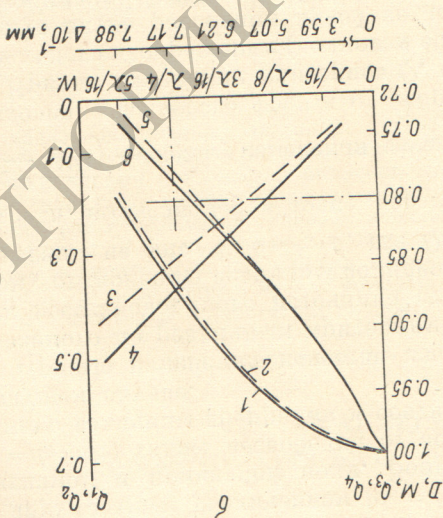
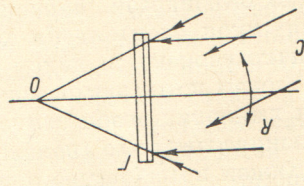
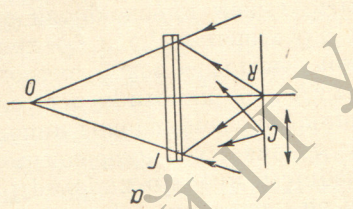
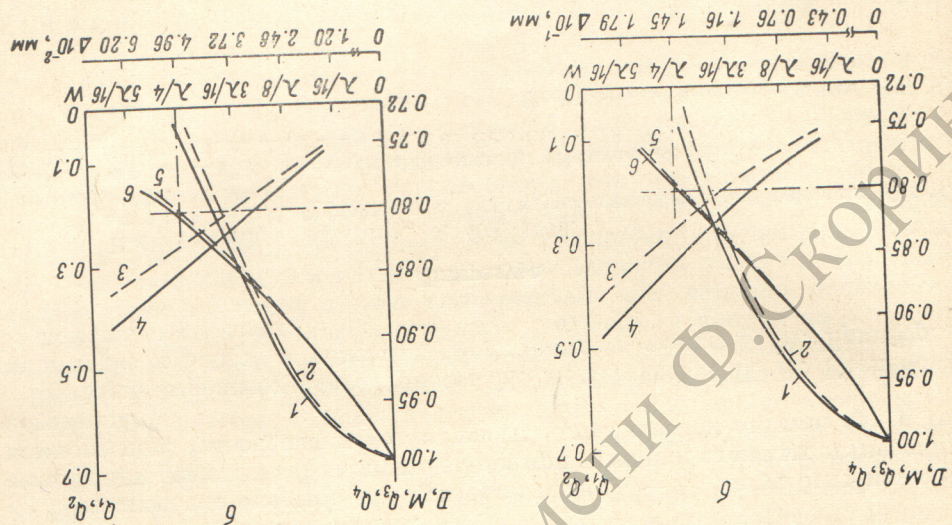
где δ — радиус диска Эйри дифракционно ограниченной линзы, r_i — расстояние между точкой пересечения i -го луча с предметной плоскостью и центром сферы Гаусса.

В зависимости от структуры рассчитываемой оптической системы возможно использование различных критериев, поэтому несомненный интерес представляет сопоставление оценок качества изображений голограммических оптических элементов по различным критериям.

С этой целью производился машинный расчет распределения качества по полю действительного изображения осевых голограммических линз. Анализировались линзы с относительным отверстием 1 : 4, длиной волны записи и восстановления $\lambda = 632.8$ нм и фокусным расстоянием $F = 80$ мм. Расчеты производились на ЭВМ, при расчете методом геометрической оптики прослеживался ход ста лучей.

а — характеристики зон оптического изображения, б — характеристики зон оптического изображения, в — характеристики зон оптического изображения, г — характеристики зон оптического изображения, д — характеристики зон оптического изображения, е — характеристики зон оптического изображения, ж — характеристики зон оптического изображения, з — характеристики зон оптического изображения, и — характеристики зон оптического изображения, к — характеристики зон оптического изображения, л — характеристики зон оптического изображения, м — характеристики зон оптического изображения, н — характеристики зон оптического изображения, о — характеристики зон оптического изображения, р — характеристики зон оптического изображения, с — характеристики зон оптического изображения.

Рис. 1-4.



Схемы записи и восстановления анализированных голограмических линз представлены на рис. 1, а—4, а. Изображение точечного источника C , создаваемое линзой рис. 1, а, не свободно только от сферической aberrации ($d_0=d_R \neq d_c$, где d — расстояние от точечного источника до плоскости голограммы; индексы O , R , C — относятся к объектной, опорной и восстанавливающей волне соответственно). Линза, геометрия записи и восстановления которой показана на рис. 2, а, обладает неустранимыми по всей плоскости изображения астигматизмом и кривизной поля ($d_0=d_R=d_c$). На рис. 3, а показана схема записи и восстановления линзы с двухкратным увеличением ($d_c=d_R$, $d_0=2d_R$) обладающей комой, астигматизмом и кривизной поля. Зонная пластинка Френеля (рис. 4, а; $d_c=d_R=\infty$) также несвободна от астигматизма, комы и кривизны поля, однако величины aberrации и соотношения между ними иные, чем в предыдущем случае.

Кривые изменения качества изображения рассмотренных линз, оцениваемого по различным критериям в зависимости от величины отклонения восстановленного источника от объектного — Δ и соответствующей этому отклонению величины волновой aberrации на краю апертуры — W , показаны на рис. 1, б—4, б, где D — кривые изменения интенсивности Штреля, вычисляемой в точке параксиального изображения, а $M = \left(1 - \frac{2\pi^2}{\lambda^2} \overline{\Delta W_0^2}\right)^2$ — кривые изменения числа Марешала; $\overline{\Delta W_0^2}$ — среднеквадратичное отклонение волнового фронта от опорной сферы Гаусса.

Кривые изменения критерииев Q_1 и Q_2 показывают, что для получения идеального изображения (волновая aberrация на краю апертуры $W \leq 0.1\lambda$) радиус пятна рассеяния лучей не должен превышать одной десятой радиуса диска Эйри для любой из рассмотренных схем записи и восстановления. Критерии Штреля и Марешала хорошо согласуются между собой, но их соотношения с условием Рэлея резко зависят от схемы записи и восстановления голограммической линзы. Из анализа представленных кривых очевидно, что критерии Q_3 и Q_4 также хорошо согласуются между собой, но несколько более «жестки», чем условия Рэлея и, следовательно, при величинах Q_3 и Q_4 больших 0.8 в пределах предметного поля, высокое качество изображения может быть гарантировано, независимо от схемы записи голограммической линзы.

В заключение отметим, что критерии вида Q_1 — Q_4 могут быть использованы при решении задач оптимизации при создании сложных оптических компонентов, включающих как элементы классической оптики, так и голограммы.

Авторы выражают благодарность М. М. Бутусову, Б. Н. Котлецову за интерес к работе и полезные обсуждения, а также Е. И. Гринбергу за помощь в расчетах.

Литература

- [1] Lord Rayleigh. Phil. Mag., 5, 403, 1879.
- [2] А. Марешаль, М. Франсон. Структура оптического изображения. «Мир», М., 1964.
- [3] М. Борн, Э. Вольф. Основы оптики. «Наука», М., 1970.
- [4] Т. Катаяма, К. Р. Миуаке. Sci. Light, 12, 50, 1963.

Поступило в Редакцию 3 мая 1976 г.